

Starkniederschlagshöhen und -spenden gemäß KOSTRA-DWD-2020

Rasterfeld 119198

(Zeile 119, Spalte 198)

Regenspende und Bemessungsniederschlagswerte in Abhängigkeit von Wiederkehrzeit T und Dauerstufe D

| Dauerstufe D | | Wiederkehrzeit T | | | | | | | | | | | | | | | | | |
|--------------|-----|------------------|------------|------|------------|------|------------|------|------------|------|------------|-------|------------|-------|------------|-------|------------|-------|------------|
| | | 1 a | | 2 a | | 3 a | | 5 a | | 10 a | | 20 a | | 30 a | | 50 a | | 100 a | |
| min | Std | mm | l / (s ha) | mm | l / (s ha) | mm | l / (s ha) | mm | l / (s ha) | mm | l / (s ha) | mm | l / (s ha) | mm | l / (s ha) | mm | l / (s ha) | mm | l / (s ha) |
| 5 | | 7,2 | 240,0 | 9,2 | 306,7 | 10,4 | 346,7 | 12,0 | 400,0 | 14,2 | 473,3 | 16,6 | 553,3 | 18,1 | 603,3 | 20,1 | 670,0 | 23,0 | 766,7 |
| 10 | | 9,3 | 155,0 | 11,8 | 196,7 | 13,4 | 223,3 | 15,4 | 256,7 | 18,4 | 306,7 | 21,4 | 356,7 | 23,4 | 390,0 | 26,0 | 433,3 | 29,7 | 495,0 |
| 15 | | 10,6 | 117,8 | 13,4 | 148,9 | 15,2 | 168,9 | 17,5 | 194,4 | 20,9 | 232,2 | 24,3 | 270,0 | 26,6 | 295,6 | 29,5 | 327,8 | 33,8 | 375,6 |
| 20 | | 11,5 | 95,8 | 14,6 | 121,7 | 16,5 | 137,5 | 19,0 | 158,3 | 22,7 | 189,2 | 26,4 | 220,0 | 28,9 | 240,8 | 32,1 | 267,5 | 36,7 | 305,8 |
| 30 | | 12,8 | 71,1 | 16,3 | 90,6 | 18,4 | 102,2 | 21,2 | 117,8 | 25,3 | 140,6 | 29,5 | 163,9 | 32,2 | 178,9 | 35,8 | 198,9 | 40,9 | 227,2 |
| 45 | | 14,2 | 52,6 | 18,1 | 67,0 | 20,4 | 75,6 | 23,6 | 87,4 | 28,1 | 104,1 | 32,7 | 121,1 | 35,7 | 132,2 | 39,7 | 147,0 | 45,4 | 168,1 |
| 60 | 1 | 15,3 | 42,5 | 19,4 | 53,9 | 21,9 | 60,8 | 25,3 | 70,3 | 30,1 | 83,6 | 35,1 | 97,5 | 38,3 | 106,4 | 42,6 | 118,3 | 48,7 | 135,3 |
| 90 | 1,5 | 16,8 | 31,1 | 21,4 | 39,6 | 24,2 | 44,8 | 27,9 | 51,7 | 33,2 | 61,5 | 38,7 | 71,7 | 42,3 | 78,3 | 47,0 | 87,0 | 53,7 | 99,4 |
| 120 | 2 | 18,0 | 25,0 | 22,9 | 31,8 | 25,9 | 36,0 | 29,8 | 41,4 | 35,5 | 49,3 | 41,4 | 57,5 | 45,2 | 62,8 | 50,2 | 69,7 | 57,4 | 79,7 |
| 180 | 3 | 19,8 | 18,3 | 25,1 | 23,2 | 28,4 | 26,3 | 32,7 | 30,3 | 39,0 | 36,1 | 45,4 | 42,0 | 49,6 | 45,9 | 55,2 | 51,1 | 63,1 | 58,4 |
| 240 | 4 | 21,1 | 14,7 | 26,8 | 18,6 | 30,3 | 21,0 | 34,9 | 24,2 | 41,6 | 28,9 | 48,5 | 33,7 | 53,0 | 36,8 | 58,9 | 40,9 | 67,4 | 46,8 |
| 360 | 6 | 23,1 | 10,7 | 29,4 | 13,6 | 33,2 | 15,4 | 38,3 | 17,7 | 45,6 | 21,1 | 53,2 | 24,6 | 58,1 | 26,9 | 64,6 | 29,9 | 73,8 | 34,2 |
| 540 | 9 | 25,3 | 7,8 | 32,2 | 9,9 | 36,4 | 11,2 | 42,0 | 13,0 | 50,0 | 15,4 | 58,2 | 18,0 | 63,7 | 19,7 | 70,7 | 21,8 | 80,9 | 25,0 |
| 720 | 12 | 27,0 | 6,3 | 34,3 | 7,9 | 38,8 | 9,0 | 44,8 | 10,4 | 53,3 | 12,3 | 62,1 | 14,4 | 67,9 | 15,7 | 75,4 | 17,5 | 86,3 | 20,0 |
| 1080 | 18 | 29,6 | 4,6 | 37,6 | 5,8 | 42,5 | 6,6 | 49,0 | 7,6 | 58,4 | 9,0 | 68,0 | 10,5 | 74,3 | 11,5 | 82,6 | 12,7 | 94,5 | 14,6 |
| 1440 | 24 | 31,6 | 3,7 | 40,1 | 4,6 | 45,4 | 5,3 | 52,3 | 6,1 | 62,2 | 7,2 | 72,5 | 8,4 | 79,3 | 9,2 | 88,1 | 10,2 | 100,7 | 11,7 |
| 2880 | 48 | 36,8 | 2,1 | 46,8 | 2,7 | 52,9 | 3,1 | 61,0 | 3,5 | 72,7 | 4,2 | 84,7 | 4,9 | 92,5 | 5,4 | 102,8 | 5,9 | 117,6 | 6,8 |
| 4320 | 72 | 40,3 | 1,6 | 51,2 | 2,0 | 57,9 | 2,2 | 66,8 | 2,6 | 79,5 | 3,1 | 92,7 | 3,6 | 101,3 | 3,9 | 112,5 | 4,3 | 128,7 | 5,0 |
| 5760 | 96 | 43,0 | 1,2 | 54,6 | 1,6 | 61,8 | 1,8 | 71,2 | 2,1 | 84,8 | 2,5 | 98,8 | 2,9 | 108,0 | 3,1 | 120,0 | 3,5 | 137,2 | 4,0 |
| 7200 | 120 | 45,2 | 1,0 | 57,4 | 1,3 | 64,9 | 1,5 | 74,8 | 1,7 | 89,1 | 2,1 | 103,8 | 2,4 | 113,4 | 2,6 | 126,1 | 2,9 | 144,2 | 3,3 |
| 8640 | 144 | 47,0 | 0,9 | 59,7 | 1,2 | 67,6 | 1,3 | 77,9 | 1,5 | 92,8 | 1,8 | 108,1 | 2,1 | 118,1 | 2,3 | 131,3 | 2,5 | 150,1 | 2,9 |
| 10080 | 168 | 48,7 | 0,8 | 61,8 | 1,0 | 69,9 | 1,2 | 80,6 | 1,3 | 96,0 | 1,6 | 111,9 | 1,9 | 122,3 | 2,0 | 135,9 | 2,2 | 155,4 | 2,6 |

Starkniederschlagshöhen und -spenden gemäß KOSTRA-DWD-2020

Rasterfeld 119198

(Zeile 119, Spalte 198)

Örtliche Unsicherheiten in Abhängigkeit von Wiederkehrzeit T und Dauerstufe D

| Dauerstufe D | | Wiederkehrzeit T | | | | | | | | |
|--------------|-----|------------------|-----|-----|-----|------|------|------|------|-------|
| | | 1 a | 2 a | 3 a | 5 a | 10 a | 20 a | 30 a | 50 a | 100 a |
| min | Std | ± % | ± % | ± % | ± % | ± % | ± % | ± % | ± % | ± % |
| 5 | | 11 | 12 | 12 | 13 | 14 | 14 | 15 | 15 | 16 |
| 10 | | 13 | 15 | 16 | 17 | 18 | 19 | 20 | 20 | 21 |
| 15 | | 15 | 17 | 18 | 20 | 21 | 22 | 23 | 23 | 24 |
| 20 | | 16 | 19 | 20 | 21 | 22 | 24 | 24 | 25 | 25 |
| 30 | | 17 | 20 | 21 | 23 | 24 | 25 | 26 | 26 | 27 |
| 45 | | 18 | 21 | 22 | 23 | 25 | 26 | 26 | 27 | 28 |
| 60 | 1 | 18 | 21 | 22 | 23 | 25 | 26 | 26 | 27 | 28 |
| 90 | 1,5 | 18 | 20 | 22 | 23 | 25 | 26 | 26 | 27 | 27 |
| 120 | 2 | 17 | 20 | 21 | 23 | 24 | 25 | 26 | 26 | 27 |
| 180 | 3 | 16 | 19 | 21 | 22 | 23 | 24 | 25 | 25 | 26 |
| 240 | 4 | 16 | 19 | 20 | 21 | 23 | 24 | 24 | 25 | 25 |
| 360 | 6 | 15 | 18 | 19 | 20 | 21 | 22 | 23 | 24 | 24 |
| 540 | 9 | 14 | 17 | 18 | 19 | 20 | 21 | 22 | 23 | 23 |
| 720 | 12 | 14 | 16 | 17 | 18 | 20 | 21 | 21 | 22 | 22 |
| 1080 | 18 | 14 | 16 | 17 | 18 | 19 | 20 | 20 | 21 | 22 |
| 1440 | 24 | 13 | 15 | 16 | 17 | 18 | 19 | 20 | 20 | 21 |
| 2880 | 48 | 14 | 15 | 16 | 17 | 18 | 18 | 19 | 19 | 20 |
| 4320 | 72 | 15 | 15 | 16 | 17 | 17 | 18 | 18 | 19 | 19 |
| 5760 | 96 | 15 | 16 | 16 | 17 | 17 | 18 | 18 | 19 | 19 |
| 7200 | 120 | 16 | 16 | 17 | 17 | 18 | 18 | 18 | 19 | 19 |
| 8640 | 144 | 17 | 17 | 17 | 17 | 18 | 18 | 19 | 19 | 19 |
| 10080 | 168 | 17 | 17 | 17 | 18 | 18 | 18 | 19 | 19 | 19 |

Parameter für abweichende T und D

Lokationsparameter ξ (Xi)

15,60229743

Skalenparameter α (Alpha)

5,84611964

Formparameter κ (Kappa)

-0,1

1. Koutsoyiannis-Parameter θ (Theta)

0,02693668

2. Koutsoyiannis-Parameter η (Eta)

0,77771536

Parameter für dauerstufenübergreifende Extremwertschätzung nach KOUTSOYIANNIS et al. 1998.

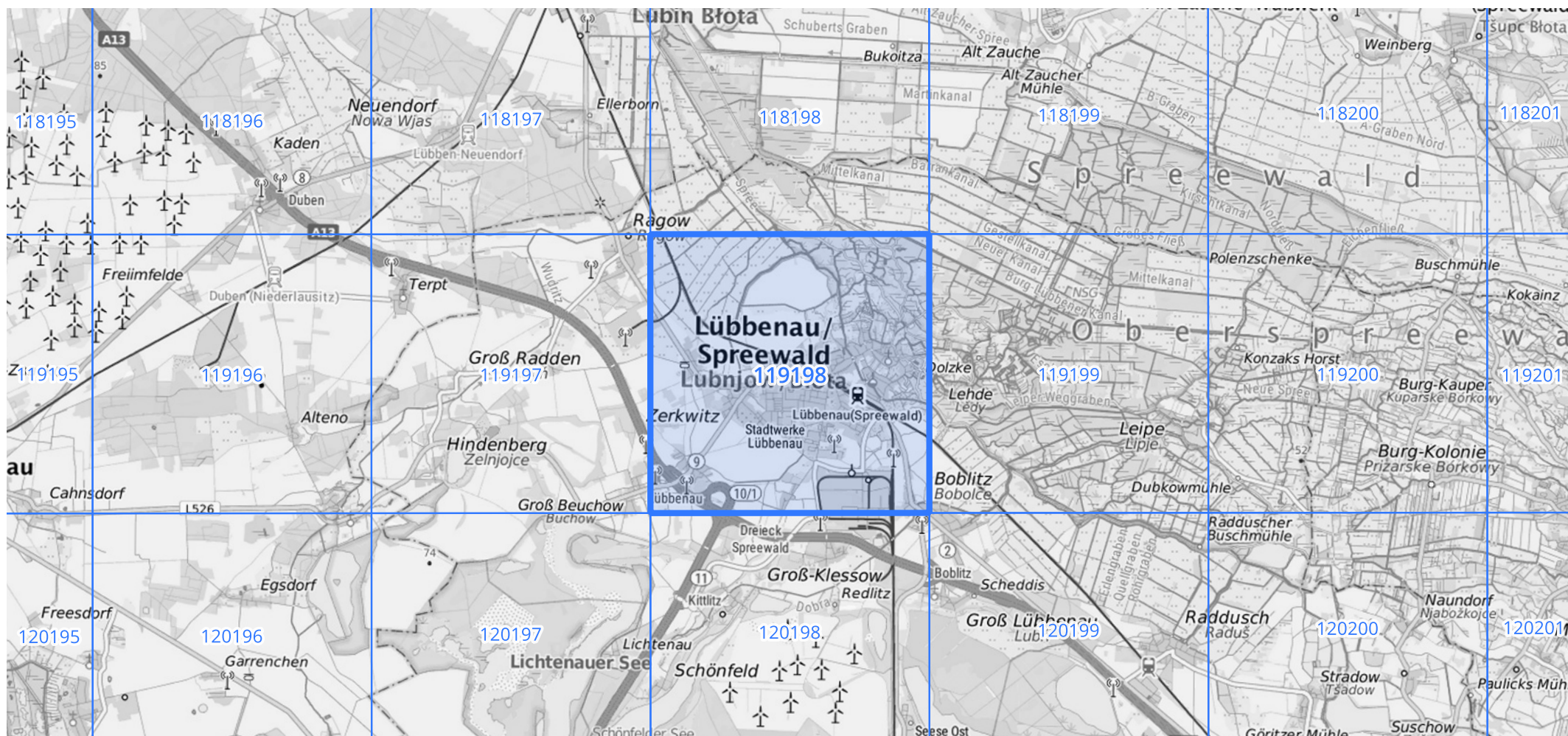
Siehe auch Anwendungshilfe zu KOSTRA-DWD-2020 des Deutschen Wetterdienstes.

Starkniederschlagshöhen und -spenden gemäß KOSTRA-DWD-2020

Rasterfeld 119198

(Zeile 119, Spalte 198)

Übersichtskarte des Rasterfeldes 119198, M 1 : 100 000



Quelle Rasterdaten: KOSTRA-DWD-2020 des Deutschen Wetterdienstes, Stand 12/2022.

Seite 3 von 3

Kartendarstellung: © Bundesamt für Kartographie und Geodäsie (2023), Datenquellen: https://sgx.geodatenzentrum.de/web_public/gdz/datenquellen/Datenquellen_TopPlusOpen.html

Für die Richtigkeit und Aktualität der Angaben wird keine Gewähr übernommen. Erstellt 01/2023.